アモルファス酸化物薄膜半導体 In-Si-O 薄膜の相安定性

Kwansei Gakuin Univ.¹, NIMS² O(M1)Tatsuki Hori¹, Ha Hong¹, Toshihide Nabatame², Kazuhito Tsukagoshi ², Akihiko Fujiwara¹

E-mail: akihiko.fujiwara@kwansei.ac.jp

 In_2O_3 、 Ca_2O_3 、 Ca_2O_3 、 Ca_2O_3 、 Ca_2O_3 0、 Ca_2O_3 0 (Ca_2O_3 0) では、酸素欠損の抑制、アモルファス構造の安定化が向上することが報告された Ca_2O_3 0 しかしながら、 Ca_2O_3 0 は、 Ca_2O_3 0 は

能なスピンコート法 により ISO 薄膜を作製し、熱処理による試料のアモルファス構造の安定性を評価した。

実験・解析は、Si 濃度 $0\%\sim12.5\%$ (2.5%間隔)、熱処理温度 250 $\mathbb{C}\sim1000$ \mathbb{C} (50 \mathbb{C} 間隔)の薄膜試料を作製し、X 線回折実験 (XRD) により得た結晶に由来する回折ピーク強度の温度と Si 濃度との関係から ISO の相を決定した。

Fig. 1 は bixbyite 構造の 222 反射に対応するピーク位置での XRD プロファイルの例を示す。熱処理温度上昇に伴い、ピークが成長している。Fig. 2 に XRD のピークの積分強度値から判定した各温度、各 Si 濃度の ISO 薄膜の状態図を示す。Si 濃度 0 %では 300 ℃で結晶化が始まるのに対して、それ以外は 900 ℃程度までアモルファス構造を維持しており、極微量の Si 添加でアモルファス構造が安定化される事が明らかになった。講演ではより詳細な結果を報告し、微量 Si 添加で構造が安定化する原因について議論する。

参考文献

- [1] N. Mitoma et al., Appl. Phys. Lett. 104, 102103 (2014).
- [2] H.E. Jan et al., J. Electron. Mater. 46, 3610–3614 (2017).
- [3] T. Kizu et al., J. Appl. Phys. 120, 045702 (2016).

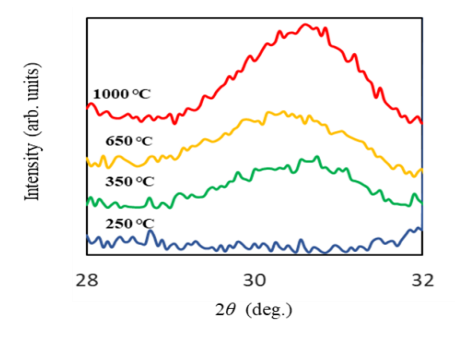


Fig. 1. XRD profiles of In₂O₃ (0 at % Si) for different annealing temperatures. The data are vertically shifted after background subtraction for clarity.

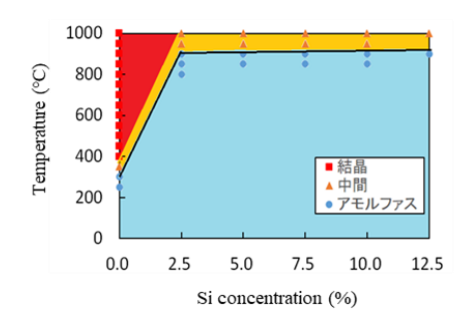


Fig. 2. Phase diagram of ISO.